

Morfologi dan Sekuensing DNA *Myxobolus koi* yang Menginfeksi Ikan Koi (*Cyprinus carpio*) di Kabupaten Blitar

Morphology and Sequencing of *Myxobolus koi* DNA that Infects Koi fish (*Cyprinus carpio*) in Blitar Regency

Soelistyoadi, R.N^{1*}, A.D. Nurekawati¹, D. Setyawati²

¹ Staf Fungsional Balai Karantina Ikan Pengendalian Mutu dan Keamanan Hasil Perikanan Surabaya I

² Staf Fungsional Balai Karantina Ikan Pengendalian Mutu dan Keamanan Hasil Perikanan Surabaya II

Jl. Raya Bandara Ir. H. Juanda No. 23 Sidoarjo 61254, Indonesia

*Email: rachmatns96@gmail.com

Received : 26 March 2020

Accepted : 24 April 2020

Publish : 31 April 2020

Abstrak

Myxobolus koi adalah jenis parasit myxospore yang banyak menginfeksi ikan hias tawar, penyakit ini disebut juga *myxobolusis*. Saat ini terdapat 29 spesies Myxobolus yang telah teridentifikasi menginfeksi *Cyprinus carpio*, dengan 17 diantaranya menginfeksi insang, sehingga akan sulit menentukan jenis spesies Myxobolus dengan cara konvensional. Penelitian ini bertujuan untuk mengidentifikasi spesies *Myxobolus* yang menginfeksi ikan koi *Cyprinus carpio* berdasarkan analisa konvensional dan secara molekuler. Spora Myxobolus yang diperoleh dari Kabupaten Blitar secara mikroskopis memiliki ukuran panjang spora 11-14 µm dengan rata-rata $12,82 \pm 0,75$ µm dan lebar 7-8 µm dengan rata-rata $7,09 \pm 0,84$ µm, sedangkan ukuran kapsul memiliki panjang 7-8 µm dengan rata-rata $7,36 \pm 0,497$ µm dan lebar 2-3 µm dengan rata-rata $2,64 \pm 0,49$ µm n=10. Hasil elektroforesis ikan yang secara klinis terinfeksi *Myxobolus koi* muncul pita (band) pada 2000 bp, sequensing DNA parasit *Myxobolus koi* yang menginfeksi ikan koi (*Cyprinus carpio*) di Blitar memiliki kemiripan (percent identity) tertinggi dengan kode sampel KT.240127.1 yaitu pada *Myxobolus koi* yang menginfeksi ikan Rainbow trout (*Oncorhynchus mykiss*) di Barat Daya China. Jarak genetik sampel *Myxobolus koi* blitar terdekat pada sampel *Myxobolus koi* pada ikan koi (*Cyprinus carpio*) dengan kode sampel FJ841887.1 dan *Myxobolus koi* pada ikan rainbow trout (*Oncorhynchus mykiss*) dengan kode sampel KT240127.1. pada nilai yang sama 0,273.

Keyword : *Myxobolus koi*, koi (*Cyprinus carpio*), PCR, Sekuensing.

Abstract

Myxobolus koi is a type of myxospore parasite that infects many fresh ornamental fish, this disease is also called myxobolusis. Currently there are 29 species of Myxobolus that have been identified to infect *Cyprinus carpio*, with 17 of them infecting gills, so it will be difficult to determine the type of Myxobolusis. This study aims to identify Myxobolus species that infect *Cyprinus carpio* koi fish based on conventional and molecular analysis. Myxobolus spores obtained from Blitar Regency microscopically have spores length of 11-14 µm with an average of 12.82 ± 0.75 µm and width of 7-8 µm with an average of 7.09 ± 0.84 µm, while the size capsules have a length of 7-8 µm with an average of 7.36 ± 0.497 µm and a width of 2-3 µm with an average of 2.64 ± 0.49 µm n = 10. Electrophoresis results of clinically infected fish *Myxobolus koi* appeared band (band) at 2000 bp, sequencing DNA *Myxobolus koi* parasites that infect koi fish (*Cyprinus carpio*) in Blitar have the highest similarity (percent identity) with the sample code KT.240127.1, namely on *Myxobolus koi* which infects Rainbow trout (*Oncorhynchus mykiss*) in Southwest China. The closest genetic distance of the *Myxobolus koi* blitar sample to the *Myxobolus koi* sample in koi fish (*Cyprinus carpio*) with sample code FJ841887.1 and *Myxobolus koi* in rainbow trout (*Oncorhynchus mykiss*) with sample code KT240127.1. at the same value 0.273.

Keyword : *Myxobolus koi*, koi (*Cyprinus carpio*), PCR, Sequencing.



PENDAHULUAN

Industri perdagangan ikan hias secara tidak langsung telah memindahkan jutaan ikan setiap tahun di seluruh dunia dan secara tidak langsung juga akan memindahkan penyakit dari satu area ke area yang lainnya termasuk diantaranya parasit myxosporean yang menyebabkan kematian pada ikan (Mathews *et al.*, 2018). Data dari Kementerian Koordinator Bidang Kemarkitiman pada tahun 2015 menduduki posisi lima dengan nilai ekspor US\$ 14,16 juta. Tahun 2017 nilai ekspor ikan hias Indonesia mencapai US\$ 27,61 Juta dan merupakan nilai ekspor ikan hias tertinggi dalam enam tahun terakhir (Anonymous, 2018).

Myxobolus koi adalah jenis parasit myxospore yang banyak menginfeksi ikan hias tawar, penyakit ini disebut juga myxobolusis. (Yokohama *et al.*, 1997). Parasit *Myxobolus sp.* dapat merusak jaringan insang ikan, otot, usus, ginjal, dan hati (Camus dan Griffin, 2010). Ikan yang terinfeksi *Myxobolus* akan kesulitan untuk bernafas karena ditemukan nodul atau kista pada

filament insang (Mahasri, G. 2017). Seringkali infeksi parasit tidak terlihat secara visual jika tidak ada tanda-tanda khusus pada ikan, pemeriksaan dapat dilakukan dengan membuat preparat rentang (*smear*) atau dengan melakukan pemeriksaan yang didasarkan pada gejala-gejala fisik yang meliputi perubahan tingkah laku, lesi-lesi tubuh, perubahan morfologis dan anatomi ikan (Sarjito *et al.*, 2013).

Metode yang banyak dilakukan pada pengujian parasit pada ikan hias tawar adalah dengan penanda tradisional (biokimia, histologis, morfologis dan fisiologis), namun penyakit pada ikan biasanya sulit untuk dikendalikan dan disembuhkan ketika penyakit telah menginfeksi, sering terlambat dalam penanganan untuk mencegah kerugian yang lebih besar, untuk itu sangat penting untuk mengetahui tingkat kesehatan ikan (Tonguthai, 1997; Robert, R.J. 2012).

Diagnose definitif dilakukan untuk mendapatkan kepastian mengenai penyebab suatu penyakit



antara lain dengan uji PCR, imunokimia dan imunohistokimia, hingga saat ini metode yang cepat dan sensitif adalah uji PCR, diagnosis definitif cenderung dilakukan untuk mendapatkan kepastian tentang jenis penyakit yang menyerang ikan. *Myxobolus* sp memiliki morfologi yang mirip dengan *Myxobolus toyami*, *Myxobolus longisporus* dan *Myxobolus koi* (Alvin C et al., 2010). Saat ini terdapat 29 spesies *Myxobolus* yang telah teridentifikasi menginfeksi *Cyprinus carpio*, dengan 17 diantaranya menginfeksi insang, dan dalam banyak laporan menyerang spesies ikan mas dari Asia dan Eropa. (Camus dan Griffin. 2010), sehingga akan sulit menentukan jenis spesies *Myxobolus* dengan cara konvensional. Penelitian ini bertujuan untuk mengidentifikasi spesies *Myxobolus* yang menginfeksi ikan koi *Cyprinus carpio* berdasarkan analisa konvensional dan secara molekuler.

MATERI DAN METODE

Alat dan Bahan

Sampel Ikan Koi (*Cyprinus carpio*) dengan ukuran 5-7 cm,

ikan yang diambil merupakan ikan dengan gejala klinis infeksi parasit *Myxobolus koi* seperti insang membengkak, operkulum tidak dapat menutup sempurna dan terdapat nodul pada bagian insang. Bahan yang digunakan PCR antara lain: Silica Extraction Kit (GeneReach Biotechnology Corp), Master Mix (MyTaq HS Red Mix,2x BIOLINE), ddH₂O/Nuclease Free water (PCR Grade Water) (Ambion,AM9937), Agarose gel (1% Gel O-Shooter) (LE Agarose, R9012LE-500gr), DEPC H₂O (GeneReach Biotechnology Corp), GT Buffer (GeneReach Biotechnology Corp), Etanol 70%, TAE Buffer, Ethidium bromide (Maestro, MR031203), SYBR Safe DNA gel strain (Invitrogen), Marker 100 bp DNA Ladder 100-3000 bp (Geneaid), Marker 100 bp DNA Ladder 100-3000 bp (Nexmark), template DNA. Primer Myxobolus ERB1 dan ERB 10, sesuai dengan Tabel 1.

Metode Penelitian



Tabel 1. Primer *Myxobolus sp*

NO	PRIMER	SEQUENCE (5'-3')	DIRECTION	SIZE (bp)
1.	ERB1	ACCTGGTTGATCCTGCCAG	Forward	2–20
2.	ERB10	CCTCCGCAGGTTCACCTACGG	Reverse	2079–2059
Metode Konvensional			12000 rpm selama 3 menit.	
<p>Cyste yang berwarna putih pada tubuh ikan dapat dibuat smear pada slide glass lalu dikering anginkan, selanjutnya dilakukan pewarnaan dengan larutan Lugol's iodine solution 10 – 15 menit, bilas dengan air lalu keringkan diudara. Spesimen kemudian diamati dibawah mikroskop untuk melihat bentuk spora dan polar kapsul (Lom J, Dyková I, 1992).</p>		Larutan lapisan diambil 600 µl dipindahkan ke dalam dalam mikrotube 1,5 ml yang baru, masukkan silica 40 µl, vortex agar homogen dan disentrifugasi pada kecepatan 12000 rpm selama 15 detik (tidak boleh lebih dari 20 detik). Setelah di sentrifugasi buang larutannya, cuci pellet silica dengan 500 µl GT Buffer, vortex sampai pellet silica membentuk suspensi, di sentrifugasi pada kecepatan 12000 rpm selama 15 detik, buang larutannya, tambahkan 1 ml ethanol 70% untuk mencuci pellet silica dan vortex sampai pellet silica membentuk suspensi. Sentrifugasi pada kecepatan 12.000 rpm selama 15 detik. buang etanol, gunakan mikropipett untuk mengambil ethanol yang masih tersisa, tambahkan 1 ml ddH ₂ O untuk meresuspensikan pellet silica, vortex sampai pellet silica membentuk suspense. Inkubasi pada suhu 55°C selama 10 menit, homogenkan dengan di vortex		
Metode PCR (Polymerase Chain Reaction)				
1. Ekstraksi				
<p>DNA diekstraksi menggunakan (Gene) Silica Extraction Kit dari jaringan yang diawetkan dalam larutan etanol absolut. Masing-masing sampel jaringan insang dan usus yang teridentifikasi <i>Myxobolus</i> maupun yang sehat dimasukkan kedalam mikrotube 1,5 ml, tambahkan dengan 900 µl GT Buffer, haluskan dengan menggunakan pastle penggerus, sentrifugasi pada kecepatan</p>				



selanjutnya disentrifugasi pada kecepatan 12.000 rpm selama 2 menit, kemudian pindahkan 500 μ l dari larutan atas ke dalam mikrotube baru dan siap digunakan (Nurekawati, A.D., 2016).

2. Amplifikasi

Amplifikasi bertujuan untuk memperbanyak DNA dari template, penelitian ini menggunakan Primer untuk amplifikasi merupakan primer spesifik pada 18S SSU rDNA untuk mendeteksi *Myxobolus* sp (Tabel 1). Pasangan primer yang digunakan untuk mendeteksi parasite *Myxobolus* sp adalah 1 set primer spesifik (Camus dan Griffin. 2010).

3. Elektroforesis

Hasil amplifikasi DNA diperiksa menggunakan 1,5 % gel agarose direndam menggunakan TAE buffer 1X. Lubang pada gel diisi secara berurutan dengan marker, 8 μ l hasil amplifikasi dan blanko kontrol. Proses elektroforesis dilakukan selama 45 menit dengan voltase 100 volt. Agarose

yang telah ditambahkan SyBr save (Invitrogen) selama 15 menit direndam dalam buffer TAE 1x. Gel diletakkan pada *gel documentation*, diamati di bawah sinar UV dan didokumentasikan.

4. Sekuensing DNA

Setelah proses amplifikasi dilanjutkan proses sekuensing untuk mengetahui susunan DNA dari parasit, Sekuensing DNA merupakan proses atau teknik penentuan urutan basa nukleotida pada suatu segmen molekul DNA, merupakan informasi paling mendasar suatu gen atau genom karena mengandung instruksi yang dibutuhkan untuk pembentukan tubuh mahluk hidup.

Hasil runutan nukleotida gen *Myxobolus* disesuaikan dengan database atau *library* yang tersimpan dalam genbank yaitu *National Centre for Biotechnology Information* (<http://www.ncbi.nlm.nih.gov/blast>) melalui program BLAST, untuk mendapatkan persentase kesamaan dengan *data base*. Sisi homolog runutan nukleotida gen DNA dari spesies yang diperoleh dan hasil



penelusuran melalui program BLAST selanjutnya disejajarkan (*multiple allignment*) dengan menggunakan *ClustalW*. Identifikasi spesimen dilakukan melalui konstruksi pohon kekerabatan dan persentase indeks kesamaan.

Analisis penanda genetik, keragaman genetik, jarak genetik dari runutan nukleotida gen parsial DNA myxobolus dilakukan menggunakan program MEGA versi 6.06 (Tamura *et al.*, 2013 ; Fahmi *et al.*, 2017).

5. Analisis Data

Metode penelitian yang digunakan adalah deskriptif kualitatif, yaitu metode yang berfungsi untuk mendeskripsikan atau memberi gambaran terhadap obyek yang diteliti melalui data atau sampel yang telah terkumpul (Sugiono, 2012). Data hasil sekuensing berupa runutan nukleotida gen Myxobolus dianalisa dengan database yang tersimpan dalam genbank *National Centre for Biotechnology Information* (<http://www.ncbi.nlm.nih.gov/blast>) sehingga mendapatkan

persentase kesamaan dengan *data base*.

HASIL DAN PEMBAHASAN

Benih ikan sampel diambil dengan ukuran 5-7 cm dengan berat 8-10 gram Pengambilan ikan sampel dilakukan di kolam pembesaran milik pembudidaya ikan koi yang berlokasi di Desa Kemloko dan Desa Kedungwaru Kecamatan Nglegok Kabupaten Blitar Jawa Timur. (8°02'04.3"S 112°12'12.2"E). Pengamatan gejala klinis dilakukan pada kolam pembesaran, ikan yang terinfeksi parasit Myxobolus akan memiliki gerakan *operculum* yang lebih cepat dibandingkan ikan sehat dan pada ikan yang terinfeksi berat ikan akan sering menuju permukaan air untuk bernafas (Sumuduni *et al.*, 2018). Pada ikan yang terinfeksi terdapat nodul putih pada insang dan *operculum* yang tidak dapat menutup dengan sempurna serta insang akan berwarna lebih pucat.

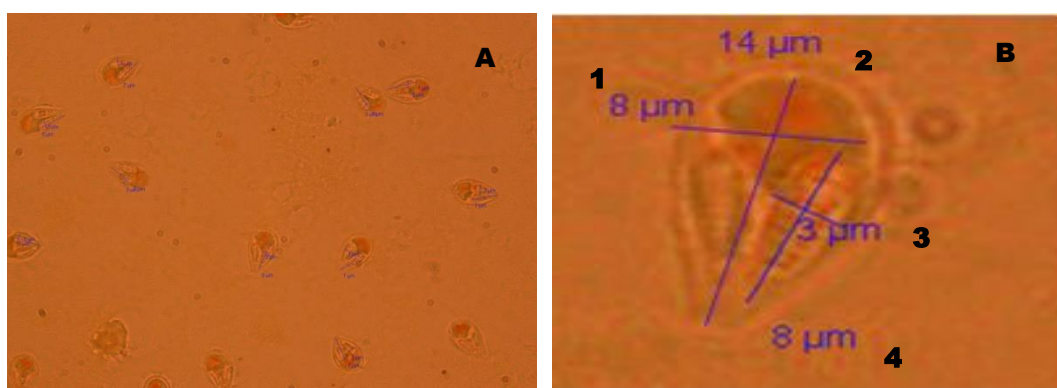
Morfologi spora *Myxobolus* sp. memiliki spora berbentuk *elipsoid*, *ovoid* atau membulat yang terlihat di dalam valvula, didalam spora tersebut terdapat 1 – 4 polar kapsul. selain polar kapsul, setiap spora juga



memiliki sporoplasma, yaitu tubuh protoplasmatik, organ ini seringkali berisi vakuola yang disebut vakuola iodinophilous. (Hoffman, 1999). Dari hasil pengamatan secara konvensional *Myxobolus* dengan pewarnaan Lugol's iodine perbesaran 100X yang ditemukan memiliki ciri-ciri berbentuk pyriformis dengan posterior yang bulat, dan mempunyai dua buah polar kapsul pada bagian anterior spora (Gambar 1) dengan panjang spora 14 μm , lebar spora 8 μm , panjang polar kapsul 8 μm dan lebar polar kapsul 3 μm (Gambar 2). Sedangkan hasil rata-rata pengukuran 10 sampel myxobolus dapat dilihat pada Tabel 2.

Organ Ikan koi diambil bagian insang untuk selanjutnya dilakukan

pemeriksaan secara molekular dengan metode PCR konvensional DNA diekstraksi dengan menggunakan *Silica Extraction Kit* kemudian dilakukan proses amplifikasi dengan menggunakan primer spesifik 18S SSU rDNA ERB1 (Forward) dan ERB10 (Reverse), dari hasil elektroforesis ikan yang secara klinis terinfeksi *Myxobolus koi* akan muncul pita (band) pada 2000 bp. Kemunculan band menunjukkan kandungan copy genom DNA parasit *Myxobolus* pada target organ sampel. Hasil elektroforesis pada organ insang ikan koi ditampilkan pada Gambar 2. berikut ini.

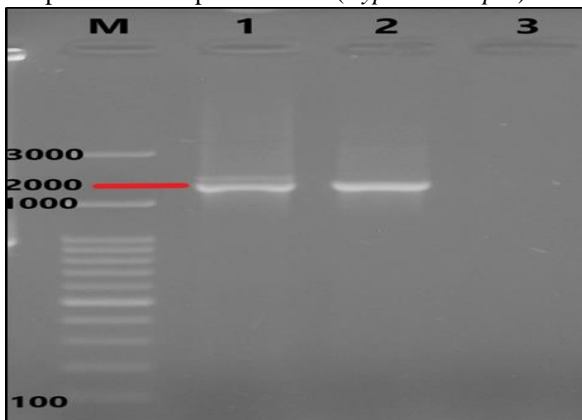


Gambar 1. (A); Spora *Myxobolus* sp. dengan pewarnaan Lugol's iodine perbesaran 100X (Mikroskop Olympus CX31), (B); Morfologi Spora *Myxobolus* sp dalam ukuran μm .
1. Lebar Spora; 2. Panjang spora; 3. Lebar polar kapsul; 4. Panjang polar kapsul

Deskripsi	Ikan Koi (<i>Cyprinus carpio</i>) n=10	
	Ukuran (μm)	Rata-rata \pm SD (μm)

Spora			
- Panjang	11 – 14		$12,82 \pm 0,75$
- Lebar	7 – 8		$7,09 \pm 0,84$
Polar kapsul			
- Panjang	7-8		$7,36 \pm 0,497$
- Lebar	2-3		$2,64 \pm 0,49$
Lokasi organ			Insang

Tabel 2. Hasil Identifikasi Spora dari Sampel Ikan Koi (*Cyprinus carpio*) di Kabupaten Blitar



Gambar 2. Hasil elektroforesis, target band parasit Myxobolus muncul pada 2000 bp Keterangan:
M= Marker; 1= Kontrol positif; 2= Insang Ikan Koi positif Myxobolus; 3=Kontrol negatif

Kriteria utama dari klasifikasi Myxozoa pada awalnya adalah berdasarkan morfologi spora, namun karena memiliki keragaman pengelompokan taksonomi yang luas maka analisa nukleotida lebih efektif untuk dilakukan. Analisa nukleotida dilakukan untuk mengetahui materi genetik dari parasit, nukleotida merupakan bahan baku utama penyusun materi genetik tersusun atas basa nitrogen, gula pentosa (keduanya disebut nukleosida) dan ester fosfat, terdapat empat jenis nukleotida utama yang menyusun DNA mahluk hidup yaitu : Adenin

(A), Guanin (G), Timin (T) dan Sitosin (C) (Toha *et al.*, 2016).

Sekuensing DNA selanjutnya dapat dimanfaatkan untuk menentukan identitas maupun fungsi gen atau fragmen DNA dengan cara membandingkan sekuens-nya dengan sekuens DNA lain yang sudah diketahui (Robert, 2012; Fiala *et al.*, 2015; Lokapirnasari *et al.*, 2017). Setelah mendapatkan hasil urutan asam basa dari sampel Myxobolus Blitar kemudian dilakukan penjajaran (*alignment*) DNA parasit dengan organisme yang lain sesuai pada Gen Bank (Tabel 3).

Tabel 3. Hasil Alignment dengan Myxobolus yang lain

.....	10	20	30	40	50	
M. Blitar	GAGACTGCGG	ACGGCTCAGT	ATATCAGTGA	TTATTGTTG	ATTGTCTTAC	
FJ710800.1	GAGACTGCGG	ACGGCTCAGT	ATATCAGTGA	TTATTGTTG	ATTGTCTTAC	
FJ841887.1	GAGACTGCGG	ACGGCTCAGT	ATATCAGTGA	TTATTGTTG	ATTGTCTTAC	
KT240127.1	GAGACTGCGG	ACGGCTCAGT	ATATCAGTGA	TTATTGTTG	ATTGTCTTAC	
LC228235.1	GAGACTGCGG	ACGGCTCAGT	ATATCAGTGA	TTATTGTTG	ATTGTCTTAC	
LC228236.1	GAGACTGCGG	ACGGCTCAGT	ATATCAGTGA	TTATTGTTG	ATTGTCTTAC	
MH521300.1	GAGACTGCGG	AAGGCTCAGT	ATATCAGTGA	TTATTGTTG	ATTGTCTAAC	
.....	60	70	80	90	100	
M. Blitar	CCATTGGATA	ACCGTGGGAA	ATCTAGAGCT	AATACATGCA	GTTTATTGGC	
FJ710800.1	CCATTGGATA	ACCGTGGGAA	ATCTAGAGCT	AATACATGCA	GTTTATTGGC	
FJ841887.1	CCATTGGATA	ACCGTGGGAA	ATCTAGAGCT	AATACATGCA	GTTTATTGGC	
KT240127.1	CCATTGGATA	ACCGTGGGAA	ATCTAGAGCT	AATACATGCA	GTTTATTGGC	
LC228235.1	CCATTGGATA	ACCGTGGGAA	ATCTAGAGCT	AATACATGCA	GTTTATTGGC	
LC228236.1	CCATTGGATA	ACCGTGGGAA	ATCTAGAGCT	AATACATGCA	GTTTATTGGC	
MH521300.1	CTATTGGATA	ACCGTGGGAA	ATCTAGAGCT	AATACATGCA	GCCAATGGTC	
.....	110	120	130	140	150	
M. Blitar	GTAGTCGCAA	GGTTGCCCTCA	AAGCATTAT	TAGACTAAC	CATCTACTAT	
FJ710800.1	GTGGCCGCAA	GGTTGCCCTCA	AAGCATTAT	TAGACTAAC	CATCTACTAT	
FJ841887.1	GTAGTCGCAA	GGTTGCCCTCA	AAGCATTAT	TAGACTAAC	CATCTACTAT	
KT240127.1	GTAGTCGCAA	GGTTGCCCTCA	AAGCATTAT	TAGACTAAC	CATCTACTAT	
LC228235.1	GTGCGCCCAA	GGTTGCCCTCA	AAGCATTAT	TAGACTAAC	CATCTACTAT	
LC228236.1	GTATCGCAA	GGTGGCCCTCA	AAGCATTAT	TAGACTAAC	CATCTACTAT	
MH521300.1	GGGCTTGCTC	GG-----CC	AAGCATTAT	TAGTTTTAAC	CAATTACTGC	
.....	160	170	180	190	200	
M. Blitar	ATGTAAAGGC	GAATCTAGAT	AACTTTGCTG	ATCGCTAGTG	CCGACGACGT	
FJ710800.1	ACGCAAAGGC	GAATCTAGAT	AACTTTGCTG	ATCGCTCGTG	CCGACGACGT	
FJ841887.1	ATGTAAAGGC	GAATCTAGAT	AACTTTGCTG	ATCGCTAGTG	CCGACGACGT	
KT240127.1	ATGTAAAGGC	GAATCTAGAT	AACTTTGCTG	ATCGCTAGTG	CCGACGACGT	
LC228235.1	ATGTAAAGGC	GAATCTAGAT	AACTTTGCTG	ATCGCTAGTG	CCGACGACGT	
LC228236.1	ATGTAAAGGC	GAATCTAGAT	AACTTTGCTG	ATCGCTAGTG	CCGACGACGT	
MH521300.1	GCAAGAAGGT	GAATCTAGAT	AACTTTGCTG	ATCGTTAGTG	TGCCAGCGAC	
.....	210	220	230	240	250	
M. Blitar	TTCAATTGAG	TTTCTGCCCT	ATCAATTG	TGGTAAGGTA	TTGGCTTACC	
FJ710800.1	TTCAATTGAG	TTTCTGCCCT	ATCAATTG	TGGTAAGGTA	TTGGCTTACC	
FJ841887.1	TTCAATTGAG	TTTCTGCCCT	ATCAATTG	TGGTAAGGTA	TTGGCTTACC	
KT240127.1	TTCAATTGAG	TTTCTGCCCT	ATCAATTG	TGGTAAGGTA	TTGGCTTACC	
LC228235.1	TTCAATTGAG	TTTCTGCCCT	ATCAATTG	TGGTAAGGTA	TTGGCTTACC	
LC228236.1	TTCAATTGAG	TTTCTGCCCT	ATCAATTG	TGGTAAGGTA	TTGGCTTACC	
MH521300.1	GTTTCAATTG	AGTTTCTGCC	CTATCAATTG	GTTGGTAAGG	TTTGGCTTA	
.....	260	270	280	290	300	
M. Blitar	AAGGTTGCAA	CGGGTAAACGG	GGAAATCAGGG	TCGATTCCG	GAGAGGGAGC	
FJ710800.1	AAGGTTGCAA	CGGGTAAACGG	GGAAATCAGGG	TCGATTCCG	GAGAGGGAGC	
FJ841887.1	AAGGTTGCAA	CGGGTAAACGG	GGAAATCAGGG	TCGATTCCG	GAGAGGGAGC	
KT240127.1	AAGGTTGCAA	CGGGTAAACGG	GGAAATCAGGG	TCGATTCCG	GAGAGGGAGC	
LC228235.1	AAGGTTGCAA	CGGGTAAACGG	GGAAATCAGGG	TCGATTCCG	GAGAGGGAGC	
LC228236.1	AAGGTTGCAA	CGGGTAAACGG	GGAAATCAGGG	TCGATTCCG	GAGAGGGAGC	
MH521300.1	CCAAGGTTGA	CACGGGTAAC	GGGAAATCAG	GGTCGATTC	CGGAGAGGGA	
.....	310	320	330	340	350	
M. Blitar	CTGAGAAACG	GCTACCACAT	CCAAGGAAGG	CAGCAGGC	GCAAATTACC	



FJ710800.1	CTGAGAAACG	GCTACCACAT	CCAAGGAAGG	CAGCAGGC	GCAAATTACC
FJ841887.1	CTGAGAAACG	GCTACCACAT	CCAAGGAAGG	CAGCAGGC	GCAAATTACC
KT240127.1	CTGAGAAACG	GCTACCACAT	CCAAGGAAGG	CAGCAGGC	GCAAATTACC
LC228235.1	CTGAGAAACG	GCTACCACAT	CCAAGGAAGG	CAGCAGGC	GCAAATTACC
LC228236.1	CTGAGAAACG	GCTACCACAT	CCAAGGAAGG	CAGCAGGC	GCAAATTACC
MH521300.1	GCTTGAGAAT	CGGACCACCA	CATCCGAAGA	AGGCAGCAGG	CGCGCAAATT

360	370	380	390	400	
M. Blitar	CAATCTAGAC	AGTAGGAGGT	GGTGAAGAGA	AGTACTTAGT	GGTGGCCAAA
FJ710800.1	CAATCTAGAC	AGTAGGAGGT	GGTGAAGAGA	AGTACTTAGT	GGTGGCCTAA
FJ841887.1	CAATCTAGAC	AGTAGGAGGT	GGTGAAGAGA	AGTACTTAGT	GGTGGCCAAA
KT240127.1	CAATCTAGAC	AGTAGGAGGT	GGTGAAGAGA	AGTACTTAGT	GGTGGCCAAA
LC228235.1	CAATCTAGAC	AGTAGGAGGT	GGTGAAGAGA	AGTACTTAGT	GGTGGCCTAA
LC228236.1	CAATCTAGAC	AGTAGGAGGT	GGTGAAGAGA	AGTACTTAGT	GGTGGCCTAA
MH521300.1	AAATCAATCT	AGACAGTAGG	AGGTGGTGA	GAGAAGTACT	AAGTGGTTTA

410	420	430	440	450	
M. Blitar	TGGTCCCAAC	TAGGAATGAA	CGTAATTAA	GCAATTGAT	GAGTAACTAC
FJ710800.1	TGGTCCCAAC	TAGGAATGAA	CGTAATTAA	GCAATTGAT	GAGTAACTAC
FJ841887.1	TGGTCCCAAC	TAGGAATGAA	CGTAATTAA	GCAATTGAT	GAGTAACTAC
KT240127.1	TGGTCCCAAC	TAGGAATGAA	CGTAATTAA	GCAATTGAT	GAGTAACTAC
LC228235.1	TGGTCCCAAC	TAGGAATGAA	CGTAATTAA	GCAATTGAT	GAGTAACTAC
LC228236.1	TGGTCCCAAC	TAGGAATGAA	CGTAATTAA	GCAATTGAT	GAGTAACTAC
MH521300.1	TTTTTACCCC	TAGCTGGAA	TGGACGTAAT	TTAACGAAATT	CGATGAGTAT

460	470	480	490	500	
M. Blitar	TGGAGGGCAA	GTCCTGGTGC	CAGCAGGCC	GGTAATTCCA	GCTCCAGTGG
FJ710800.1	TGGAGGGCAA	GTCCTGGTGC	CAGCAGGCC	GGTAATTCCA	GCTCCAGTGG
FJ841887.1	TGGAGGGCAA	GTCCTGGTGC	CAGCAGGCC	GGTAATTCCA	GCTCCAGTGG
KT240127.1	TGGAGGGCAA	GTCCTGGTGC	CAGCAGGCC	GGTAATTCCA	GCTCCAGTGG
LC228235.1	TGGAGGGCAA	GTCCTGGTGC	CAGCAGGCC	GGTAATTCCA	GCTCCAGTGG
LC228236.1	TGGAGGGCAA	GTCCTGGTGC	CAGCAGGCC	GGTAATTCCA	GCTCCAGTGG
MH521300.1	CTACTGGAGG	GCAAGTCCTG	GTGCCAGCCC	GGGGGTTAAT	TCCAGCTCCA

510	520	530	540	550	
M. Blitar	CGTGATTAA	AGTTGCTGCG	TTTAAACGC	TCGTAGTTGG	ATCACGCATT
FJ710800.1	CGTGATTAA	AGTTGCTGCG	TTTAAACGC	TCGTAGTTGG	ATCACGCAGT
FJ841887.1	CGTGATTAA	AGTTGCTGCG	TTTAAACGC	TCGTAGTTGG	ATCACGCAGT
KT240127.1	CGTGATTAA	AGTTGCTGCG	TTTAAACGC	TCGTAGTTGG	ATCACGCAGT
LC228235.1	CGTGATTAA	AGTTGCTGCG	TTTAAACGC	TCGTAGTTGG	ATCACGCAGT
LC228236.1	CGTGATTAA	AGTTGCTGCG	TTTAAACGC	TCGTAGTTGG	ATCACGCAGT
MH521300.1	GTGGCGTGAT	TTAAAGTTGC	TCGTATTAAA	ACGCTCGTAG	TTGGATCATG

560	570	580	590	600	
M. Blitar	GCCATGTAGT	AACACAAATT	TGGTCGACTG	ACGATTTCCT	TTCTCAAGAT
FJ710800.1	GCCATATAGT	AACACAGATT	TGGTCGAGTG	ACGATTTCCT	TTTCCGAGAT
FJ841887.1	GCCATGTAGT	AACACAAATT	TGGTCGACTG	ACGATTTCCT	TTCTCAAGAT
KT240127.1	GCCATGTAGT	AACACAAATT	TGGTCGACTG	ACGATTTCCT	TTCTCAAGAT
LC228235.1	GCCATATAGT	AACACAAATT	TGGTCGAATG	ACGATTTCCT	TTCTCGAGAT
LC228236.1	GCCATATAGT	AACACAAATT	TGGTCGAATG	ACGATTTCCT	TTCTCGAGAT
MH521300.1	CGGTAACGTG	TTGTAGTCTA	TGGTCGACTG	ACTAGCGAAC	ATCTTGGCT

610	620	630	640	650	
M. Blitar	TATTGAATCT	TGACCGGTT	GTGTGTTAAC	GCTATATGTC	ACTATTTGCA
FJ710800.1	TATTGGATCT	TGACCTGTCT	GTGTGTTAAC	GCTATATGTC	ACTATTTGCA
FJ841887.1	TATTGAATCT	TGACCGGTT	GTGTGTTAAC	GCTATATGTC	ACTATTTGCA
KT240127.1	TATTGAATCT	TGACCGGTT	GTGTGTTAAC	GCTATATGTC	ACTATTTGCA
LC228235.1	TATTGGATCT	TGACCGGTT	GTGTGTTAAC	GCTATATGTC	ACTATTTGCA
LC228236.1	TATTGGATCT	TGACCGGTT	GTGTGTTAAC	GCTATATGTC	ACTATTTGCA
MH521300.1	GATTCACTG	ATGTTCCCAA	GTGTAGATAA	CAACGCAAAC	TGTTACTATT

660	670	680	690	700	
M. Blitar	CACAAGTATG	ATATTTGGTC	TGTAGTGAAT	CGAGTATCGT	GTCTTGTGGA
FJ710800.1	CACAAGTATG	ATATTTGGTC	TTTAGTGAAT	CGAGTATCGT	GTCTTGTGGA



FJ841887.1	CACAAGTATG ATATTTGGTC	TTTAGTGAAT	CGAGTATCGT	GTCTTGTGGA	
KT240127.1	CACAAGTATG ATATTTGGTC	TTTAGTGAAT	CGAGTATCGT	GTCTTGTGGA	
LC228235.1	CACAAGTATG AAATTTGGTC	TTTAGTGAAT	CGAGTTTCGT	GTCTTGTGGA	
LC228236.1	CACAAGTATG AAATTTGGTC	TTTAGTGAAT	CGAGTTTCGT	GTCTTGTGGA	
MH521300.1	TAATCGCAAG TATGTTGATT	GACCTTTACT	GAGTTGATGA	TCATATTGTG	
.....	710	720	730	740	750
M. Blitar	GTGTGCCTTG AATAATACAA	AGTGCTCCAA	GCATGCGCAC	GCTTGAATGT	
FJ710800.1	GTGTGCCTTG AATAAAACAG	AGTGCTCAA	GCAGGCGAAC	GCTTGAATGT	
FJ841887.1	GTGTGCCTTG AATAAAACAG	AGTGCTCAA	GCAGGCGAAC	GCTTGAATGT	
KT240127.1	GTGTGCCTTG AATAAAACAG	AGTGCTCAA	GCAGGCGAAC	GCTTGAATGT	
LC228235.1	GTGTGCCTTG AATAAAACAG	AGTGCTCAA	GCAGGCGAAC	GCTTGAATGT	
LC228236.1	GTGTGCCTTG AATAAAACAG	AGTGCTCAA	GCAGGCGAAC	GCTTGAATGT	
MH521300.1	CGGTTCGTGC CTTGAATAAA	ACAGAGTGCT	CAAAGCAGGC	CGTGCTTGAG	
.....	760	770	780	790	800
M. Blitar	TATAGCATGG AACGAACAAA	CGTGTATTG	CGATATGTTG	AGCAGTTGAA	
FJ710800.1	TATAGCATGG AACGAACAAA	CGTGTATTG	CATACGTTTG	AAGAGTTGGG	
FJ841887.1	TATAGCATGG AACGAACAAA	CGTGTATTG	CGTATGTTTG	AGCAGTTGAG	
KT240127.1	TATAGCATGG AACGAACAAA	CGTGTATTG	CGTATGTTTG	AGCAGTTGAG	
LC228235.1	TATAGCATGG AACGAACAAA	CGTGTATTG	TGTATGTTG	AGCAGTTGAG	
LC228236.1	TATAGCATGG AACGAACAAA	CGTGTATTG	CGTACGTTA	GGCAGTTGAG	
MH521300.1	ATGTTGTAGC ATGGAACGAA	CAAACGTGTA	TCGCGTGCA	TCGTGCGAGG	
.....	810	820	830	840	850
M. Blitar	GCGCAACTTG ATTGCTTGAG	CGTACGCAGC	ACCGTCCAA	ATACGGATGT	
FJ710800.1	GGCAACCTCG ATTTTTGGAG	CGTATGCAGC	ACCCGCCTAA	ATACGGATGT	
FJ841887.1	GGCAACTTTG ATTGCTTGAG	CGTACGCAGC	ACCCGCCAAA	ATACGGATGT	
KT240127.1	GGCAACTTTG ATTGCTTGAG	CGTACGCAGC	ACCCGCCAAA	ATACGGATGT	
LC228235.1	GGCAACTTTG ACTGTTGAG	CGTATGCAGC	ACCCGCCTAA	ATACGGATGT	
LC228236.1	GGCAACTTTG GCTGTTGAG	CGTACGCAGC	ACCCGCCTAA	ATACGGATGT	
MH521300.1	TGAGTGTGCT TCGGTGCGT	TTGATGTATG	CATCACCCGC	CAAATACGA	
.....	860	870	880	890	900
M. Blitar	TGGTTGTCGT ATCAGGTGAT	GGATTAACAG	AGCAGTTAGG	GGCATTGGTA	
FJ710800.1	TGGTTTCGT ATCAGGTGAT	GATTAACAGG	AGCGGTTGGG	GGCATTGGTA	
FJ841887.1	TGGTTTCGT ATCAGGTGAT	GATTAACAGG	AGCGGTTGGG	GGCATTGGTA	
KT240127.1	TGGTTTCGT ATCAGGTGAT	GATTAMCAGG	AGCGGTTGGG	GGCATTGGTA	
LC228235.1	TGGTTTCGT ATCAGGTGAT	GATTAACAGG	AGCGGTTGGG	GGCATTGGTA	
LC228236.1	TGGTTTCGT ATCAGGTGAT	GATTAACAGG	AGCGGTTGGG	GGCATTGGTA	
MH521300.1	TTGTTGGTTA GTCAATAAGG	TGATGATTAA	AAGGAGCGGT	TGGGGCATT	
.....	910	920	930	940	950
M. Blitar	TTTGGCCACG AGAGGTGAAA	TTCTTGGACC	GGCCAAGACT	ACAGAACAA	
FJ710800.1	TTTGGCCCG AGAGGTGAAA	TTCTTGGACC	GGCCAAGGAC	TAACAGATAA	
FJ841887.1	TTTGGCCCG AGAGGTGAAA	TTCTTGGACC	GGCCAAGGAC	TAACAGATAA	
KT240127.1	TTTGGCCCG AGARGTGAAA	TTCTTGGACC	GGCCAAGGAC	TAACAGATAA	
LC228235.1	TTTGGCCCG AGAGGTGAAA	TTCTTGGACC	GGCCAAGGAC	TAACAGATAA	
LC228236.1	TTTGGCCCG AGAGGTGAAA	TTCTTGGACC	GGCCAAGGAC	TAACAGATAA	
MH521300.1	GGTATTGGA CGCGAGAGGT	GAAATTCAA	GACCGTCCAA	GGACTAACTG	
.....	960	970	980	990	1000
M. Blitar	AGCGTTGTCA GACCGTTC	TTATCAGAAC	AAAGTGGAGG	TCGAAACATC	
FJ710800.1	GGCGTTGTC TAGACCGTT	CCATTAATCA	AGAACGAAAG	TGGGAGGTTC	
FJ841887.1	GGCGTTGTC TAGACCGTT	CCATTAATCA	AGAACGAAAG	TGGGAGGTTC	
KT240127.1	GGCGTTGTC TAGACCGTT	CCATTAATCA	AGAACGAAAG	TGGGAGGTTC	
LC228235.1	GGCGTTGTC TAGACCGTT	CCATTAATCA	AGAACGAAAG	TGGGAGGTTC	
LC228236.1	GGCGTTGTC TAGACCGTT	CCATTAATCA	AGAACGAAAG	TGGGAGGTTC	
MH521300.1	CGAAGGCATC TGTCAGAAC	GTATCCATTA	ATCAAGAACG	AAAGTGGAG	
.....	1010	1020	1030	1040	1050
M. Blitar	AATACGTCTA GTCCACAAAA	CTTGCGACTG	ATCGTTAGGA	TACAAGCCAG	
FJ710800.1	GAAGACGATC AGATACCGTC	CTAGTTCCCA	CTATAAACTA	TGCCGACCTG	
FJ841887.1	GAAGACGATC AGATACCGTC	CTAGTTCCCA	CTATAAACTA	TGCCGACCTG	
KT240127.1	GAAGACGATC AGATACCGTC	CTAGTTCCCA	CTATAAACTA	TGCCGACCTG	



LC228235.1 GAAGACGATC AGATACCGTC CTAGTTCCA CTATAAACTA TGCCGACCTG
LC228236.1 GAAGACGATC AGATACCGTC CTAGTTCCA CTATAAACTA TGCCGACCTG
MH521300.1 GTCGAAGAC GATTAGATA CGTCGTAGTC CCAACCGTAA ACTATGCCGA
.....|.....|.....|.....|.....|.....|.....|
1060 1070 1080 1090 1100
M. Blitar GTGGTCCCTG GAATCAGTTT CGTTCGGGAA GTTGTCCATT CTAACTAAGG
FJ710800.1 GCAGTTTAGT GATTAACAAG CTCTAGGTTG GTCCCCCTGG GAAACCTCAA
FJ841887.1 GCAGTTTAGT GATTAACAAG CTCTAGGTTG GTCCCCCTGG GAAACCTCAA
KT240127.1 GCAGTTTAGT GATTAACAAG CTCTAGGTTG GTCCCCCTGG GAAACCTCAA
LC228235.1 GCAGTTTAGT GATTAACAAG CTCTAGGTTG GTCCCCCTGG GAAACCTCAA
LC228236.1 GCAGTTTAGT GATTAACAAG CTCTAGGTTG GTCCCCCTGG GAAACCTCAA
MH521300.1 CGGATCAGCT TGGGATATTG CAAGCATCAA GTTGGTCTCC AAGGGAAACC
.....|.....|.....|.....|.....|.....|.....|
1110 1120 1130 1140 1150
M. Blitar ATGACGAGGC CCCCGGGGAA CCGGGTTATT GCCCCCGGGAA CTACGGCCGA
FJ710800.1 GTTTTCGGT TACGGGGAGA GTATGGTCGC AAGTCTGAAA CTTAAAGGAA
FJ841887.1 GTTTTCGGT TACGGGGAGA GTATGGTCGC AAGTCTGAAA CTTAAAGGAA
KT240127.1 GTTTTCGGT TACGGGGAGA GTATGGTCGC AAGTCTGAAA CTTAAAGGAA
LC228235.1 GTTTTCGGT TACGGGGAGA GTATGGTCGC AAGTCTGAAA CTTAAAGGAA
LC228236.1 GTTTTCGGT TACGGGGAGA GTATGGTCGC AAGTCTGAAA CTTAAAGGAA
MH521300.1 ATAAGTTTT CGGTTACGGG GAGACTATGG TCGCAAGTCT GAAATTAAA
.....|.....|.....|.....|.....|.....|.....|
1160 1170 1180 1190 1200
M. Blitar TCAAGTAAAA CTAAACTTTT GACGGAGGGG GCGGCCTTAA TTGGGATGTG
FJ710800.1 TTGACGGAAG GGCACCACCA GGGGTGGAGC CTGGCCTTA ATTTGACTCA
FJ841887.1 TTGACGGAAG GGCACCACCA GGGGTGGAGC CTGGCCTTA ATTTGACTCA
KT240127.1 TTGACGGAAG GGCACCACCA GGGGTGGAGC CTGGCCTTA ATTTGACTCA
LC228235.1 TTGACGGAAG GGCACCACCA GGGGTGGAGC CTGGCCTTA ATTTGACTCA
LC228236.1 TTGACGGAAG GGCACCACCA GGGGTGGAGC CTGGCCTTA ATTTGACTCA
MH521300.1 GGAATTGACG GAAGGGCACC ACCAGGGTG GAACCTGCGG CTTAATTGAA
.....|.....|.....|.....|.....|.....|.....|
1210 1220 1230 1240 1250
M. Blitar GTATCGTAAA AACCTTCTT AAAAAAAAGAG GTTAGTTCCG GTGAATCCCC
FJ710800.1 ACACGGGAA ACTTACCTGG TCCGGACATC GAAAGGATAG ACAGACTGAT
FJ841887.1 ACACGGGAA ACTTACCTGG TCCGGACATC GAAAGGATAG ACAGACTGAT
KT240127.1 ACACGGGAA ACTTACCTGG TCCGGACATC GAAAGGATAG ACAGACTGAT
LC228235.1 ACACGGGAA ACTTACCTGG TCCGGACATC GAAAGGATAG ACAGACTGAT
LC228236.1 ACACGGGAA ACTTACCTGG TCCGGACATC GAAAGGATAG ACAGACTGAT
MH521300.1 CTAACGACGG GGAAACTTAC ATGGTCCAGA CATCGATAGG ATAAACAGAC
.....|.....|.....|.....|.....|.....|.....|
1260 1270 1280 1290 1300
M. Blitar AAGTGTAT TGGGGGGGCC CTTGGTTCA GAATGCTGTT GGTAGTCCCT
FJ710800.1 AGATCTTCT TGATGCGGTG AGTGGTGGTG CATGGCCGTT CTTAGTTCGT
FJ841887.1 AGATCTTCT TGATGCGGTG AGTGGTGGTG CATGGCCGTT CTTAGTTCGT
KT240127.1 AGATCTTCT TGATGCGGTG AGTGGTGGTG CATGGCCGTT CTTAGTTCGT
LC228235.1 AGATCTTCT TGATGCGGTG AGTGGTGGTG CATGGCCGTT CTTAGTTCGT
LC228236.1 AGATCTTCT TGATGCGGTG AGTGGTGGTG CATGGCCGTT CTTAGTTCGT
MH521300.1 TGATAGATCT TTTTGATGC GGTGAGTGGT GGTGCATGGC CGTTCCTAGT
.....|.....|.....|.....|.....|.....|.....|
1310 1320 1330 1340 1350
M. Blitar GCAAGAATAA GTCGAATCCT TTTCGATACC AAAAGGTCA TGGTTTTTC
FJ710800.1 GGAGTGATCT GTCAGGTTA TTCCGGTAAC GAACGAGACC ACCTTCTCCA
FJ841887.1 GGAGTGATCT GTCAGGTTA TTCCGGTAAC GAACGAGACC ACCTTCTCCA
KT240127.1 GGAGTGATCT GTCAGGTTA TTCCGGTAAC GAACGAGACC ACCTTCTCCA
LC228235.1 GGAGTGATCT GTCAGGTTA TTCCGGTAAC GAACGAGACC ACCTTCTCCA
LC228236.1 GGAGTGATCT GTCAGGTTA TTCCGGTAAC GAACGAGACC ACCTTCTCCA
MH521300.1 TCGTGGAGTG ATCTGTCAGG TTGATTCCGG TAACGAACGA GACTACAACC
.....|.....|.....|.....|.....|.....|
1360 1370 1380 1390
M. Blitar ATTCCATAT TCTTTACAT GATAGGAAGT AGCGTAGGTT
FJ710800.1 TTTAAGAAAC AGTAGTAGGA GGCTGGTTGT TGCTTCGGTG
FJ841887.1 TTTAAGAAAC AGTAGCAGGA GGTTGGATGT TGCTTCGGTG
KT240127.1 TTTAAGAAAC AGTAGCAGGA GGTTGGATGT TGCTTCGGTG



LC228235.1 TTTAAGAAC AGTAGCAGGA GGCTGGTTGT TGCTTCGGTG
LC228236.1 TTTAAGAAC AGTAGCAGGA GGCTGGATGT TGCTTCGGTG
MH521300.1 TTCATTTAAG AGGCAAAAGC AGGAGGGCGA AAGGCATTTC

Hasil sequensing DNA parasit *Myxobolus koi* yang menginfeksi ikan koi (*Cyprinus carpio*) di Blitar memiliki kemiripan (*percent identity*) dari data Gen Bank dengan beberapa organisme. (Tabel 4). Kemiripan atau tingkat homologi dari sampel antara 95,99 – 99,37% dengan *E-value* 0.0, kemiripan tertinggi terjadi pada kode sampel KT.240127.1 yaitu pada *Myxobolus koi* yang menginfeksi ikan Rainbow trout (*Oncorhynchus mykiss*) di Barat Daya China, kemiripan dikatakan tinggi apabila sekuen DNA memiliki nilai percen identity >70% dan *E-value* <10⁻⁴ (Claverie dan Notredame, 2003). Analisis filogenetik dengan menggunakan program komputer ClustalW dengan *bootstrap* 1000 kali, terhadap susunan basa nukleotida utamanya sekuen sampel *Myxobolus koi* bertujuan untuk membandingkan hubungan kekerabatan antara sampel dengan isolat pembanding. Isolat *Myxobolus koi* dari GenBank dapat digunakan sebagai acuan atau referensi untuk analisa terkait dengan data *genomic* dari suatu isolat yang ada sehingga

dapat diperkirakan kecepatan evolusi yang terjadi dan dapat direkonstruksi hubungan evolusi antara satu organisme dengan yang lain. Hasil analisa filogenetik dapat dilihat pada Gambar 3 berikut ini.

Metode *neighbor joining* dengan software Mega 6.06 (Tamura *et al.*, 2013) digunakan untuk membandingkan isolate parasit *Myxobolus koi* dari benih ikan koi (*Cyprinus carpio*) dengan 6 isolat pembanding (Tabel 4). Jarak genetik sampel *Myxobolus koi* dapat dilihat pada Tabel 5, Nilai jarak genetik ke 7 jenis *Myxobolus* berkisar antara 0,273 hingga 1,416. Nilai jarak tertinggi (1,416) terdapat pada *Myxobolus kingchowensis* kode sampel MH.521300, sedangkan terdekat (0,273) pada sampel *Myxobolus koi* pada ikan koi (*Cyprinus carpio*) kode sampel FJ841887.1 dan *Myxobolus koi* pada ikan rainbow trout (*Oncorhynchus mykiss*) kode sampel KT240127.1.

KESIMPULAN

Spora *Myxobolus* yang diperoleh dari Kabupaten Blitar



memiliki ukuran panjang spora 11-14 μm dengan rata-rata $12,82 \pm 0,75 \mu\text{m}$ dan lebar 7-8 μm dengan rata-rata $7,09 \pm 0,84 \mu\text{m}$, sedangkan ukuran kapsul memiliki panjang 7-8 μm dengan rata-rata $7,36 \pm 0,497 \mu\text{m}$ dan lebar 2-3 μm dengan rata-rata $2,64 \pm 0,49 \mu\text{m}$ n=10. Hasil elektroforesis ikan yang secara klinis terinfeksi *Myxobolus koi* muncul pita (band) pada 2000 bp. Hasil sequensing DNA parasit *Myxobolus koi* yang menginfeksi ikan koi (*Cyprinus carpio*) di Blitar memiliki kemiripan (percent identity) tertinggi dengan kode sampel KT.240127.1 yaitu pada *Myxobolus koi* yang menginfeksi ikan Rainbow trout (*Oncorhynchus mykiss*) di Barat Daya China. Jarak genetik sampel *Myxobolus koi* blitar terdekat pada sampel *Myxobolus koi* pada ikan koi (*Cyprinus carpio*) dengan kode sampel FJ841887.1 dan *Myxobolus koi* pada ikan rainbow trout (*Oncorhynchus mykiss*) dengan kode sampel KT240127.1. pada nilai yang sama 0,273.

DAFTAR PUSTAKA

- Alvin C. dan Matt J. Griffin, 2010. Molecular Characterization and Histopathology of *Myxobolus koi* Infecting the Gill of a Koi, *Cyprinus carpio*, with an Amende Morphological Description of the Agent. *Journal of Parasitology*. 96 (1): 116-124.
- Camus., A.C, Jennifer A. Dill, Thomas G. Rosser, Linda M. Pote, Matt J. Griffin. 2017. *Myxobolus axelrodi* n. sp. (Myxosporea : Myxobolidae) a Parasite Infecting The Brain and Retinas of The Cardinal Tetra *Paracheirodon axelrodi* (Teleostei: Characidae). *Parasitol Res* 116 (1) : 387-397.
- Claverie, J., Notredame, C. 2003. Bioinformatics for Dummies, Wiley Publishing Inc, New York.
- Fahmi M.R., Ruby Vidia Kusumah, Idil Ardi, Shofihar Sinansari, Eni Kusrini. 2017. DNA Barcoding Ikan Hias Introduksi. *Jurnal Riset Akuakultur*, 12 (1) : 29-40.
- Fan,W., 2015. Mortality Associated with Infectious Haematopoietic Necrosis in Farmed Adult Rainbow Trout (*Oncorhynchus mykiss*) at Southwest China. Unpublished. Submitted (02-Jul-2015) Aquaculture, Sichuan Agriculture University.
- Felsenstein, Joseph. 1985. Confidence Limits on Phylogenies: An Approach Using the Bootstrap. *Evolution*, 39 (4) : 783-791.
- Fiala I., Pavla Bartošová-Sojková, Christopher M. Whipps. 2015. Classification and Phylogenetics of Myxozoa Chapter 5. *Myxozoan Evolution, Ecology and Developmen/*.
- Gunanti Mahasri. 2017. Development of Spore Protein of *Myxobolus koi* as an Immunostimulant for Prevent of Myxobolusis on Gold Fish (*Cyprinus carpio* Linn) by Oral Immunisation. IOP Conf. Ser.: Earth Environ.
- Hofmaan, G.L. 1999. Parasites of North American Freshwater Fishes. Cornell University Press. New York. pp. 21-66
- Kato,E., Kasai,A., Tomochi,H., Li,Y.C., Sato, H. 2017. Four *Myxobolus* spp. (Myxosporea: Bivalvulida) from the gill lamellae of common carp (*Cyprinus carpio*) and Japanese silver



- crucian carp (*Carassius angsdorffii*) in the western part of Japan, with the description of three new species (*M. tanakai* n. sp., *M. paratoyamai* n. sp., and *M. ginbuna* n. sp.). Parasitol. Res. In press.
- Kimura, M. 1980. A Simple Method for Estimating Evolutionary Rates of Base Substitutions Through Comparative Studies of Nucleotide Sequences. Journal of Molecular Evolution. 16:116-120.
- Lokapirnasari, W.P., Adriana Monica Sahidu, Tri Nurhajati, Koesnoto Supravianondo, Andreas Berny Yulianto. 2017. Sekuensing 16S DNA Bakteri Selulolitik Asal Limbah Cairan Rumen Sapi Peranakan Ongole. Jurnal Veteriner, 18(1); 76 – 82.
- Lom J, Dyková I. 1992. Protozoan parasites of fishes. Elsevier Science Publishers, New York Longshaw M, Feist SW, Canning EU, Okamura
- Mathews, Patrick D., Omar Mertins, José O.L. Pereira, Antonio A.M. Maia, dan Edson A. Adriano. 2018. Morphology dan 18S RDNA Sequencing of *Henneguya peruviensis* n. Sp. (Cnidaria: Myxosporea), a Parasit of the Amazonian Ornamental Fish *Hyphessobrycon loretoensis* from Peru: A Myxosporean Dispersal Approach. Acta Tropica 187 (August). Elsevier: 207–13.
- Nurekawati, A.D, Gunanti Mahasri dan Muchammad Yunus. 2016. Identifikasi *Myxobolus* sp. pada Famili Cyprinidae Dengan Metode Molekuler di Provinsi Jawa Timur Dan Jawa Tengah. Jurnal Biosains. Vol 18, (2).
- Robert, R.J. 2012. Fish Pathology Fourth Edition. Blackwell Publishing Ltd.
- Sarjito, Slamet Budi Prayitno, Alfabetian Harjuno Condro Haditomo. 2013. Buku Pengantar Parasit dan Penyakit Ikan. Fakultas Perikanan Dan Ilmu Kelautan Universitas Diponegoro
- Sugiyono. 2012. Metode Penelitian Kuantitatif Kualitatif dan R&D. Alfabeta. Bandung.
- Sumuduni, B.G.D., D.H.N. Munasinghe, A. Arulkanthan. 2018. Chronological Analysis of The Damages Caused by The Metacercaiae Of *Centrocestus formosanus* in The Gills of *Cyprinus carpio* and Lesions Caused by The Adult Flukes In *Ardeola ralloides* : An experimental study. International Journal of Veterinary Science and Medicine, 6 (2): 165–171
- Saitou, Naruya, and Masatoshi Nei. 1987. The Neighbor-Joining Method : A New Method for Reconstructing Phylogenetic Trees. Molecular biology and evolution, 4(4): 406–25.
- Tamura, Koichiro et al. 2013. MEGA6 : Molecular Evolutionary Genetics Analysis Version 6.0. Molecular biology and evolution. 30(12): 2725 – 2729.
- Tonguthai., K. 1997. Control of Freshwater Fish Parasits: a Southeast Asian Perspective. International Journal, for Parasitology, Vol. 21. (10): 1185 - 1191.
- Toha AHA, Widodo N, Hakim L, Sumitro SB. 2016. Panduan Dasar Analisis Data Genetik untuk Publikasi. Proyek Marine Biodiversity of Raja Ampat Islands. Kerjasama Universitas Papua-Universitas Brawijaya. 58 h.
- Wang, T., Bird, S., Zou, J., Secombes, C.J. 2018. Sequencing, Gene Organisation and Differential expression of two goldfish IL-1 beta genes. Journal Unpublished.
- Yokoyama, H., Daisuke Inoue, Atsuro Kumamaru, Hisatsugu Wakabayashi. 1997. *Myxobolus koi* (Myxozoa: Myxosporea) Forms Large-and Small-Type 'Cysts' in the Gills of Common Carp. Fish Pathology, 32 (4): 211-217.
- Zhang, J.Y., Yokoyama, H., Wang, J.G., Li, A.H., Gong,X.N., Ryu-Hasegawa,A., Iwashita,M. Ogawa, K. 2010. Utilization of Tissue Habitats by *Myxobolus wulii* Landsberg & Lom, 1991 in different carp hosts and disease resistance in allogynogenetic gibel carp: redescription of *M. wulii* from China and Japan. Journal of Fish Diseases, 33(1): 57-68.

